

**ТЕМПЕРАТУРА В СТРУЕ АЗОТНОЙ ПЛАЗМЫ
ПРИ ПОНИЖЕННЫХ ДАВЛЕНИЯХ**

ГЕОРГ Э. Б., ЯКУШИН М. И.

Измерения температуры в плазменных струях на индукционных установках выполнялись в основном при атмосферном давлении в зоне энерговыделения. Плазмообразующими газами служили аргон и воздух [1–4]. Авторы работ делают вывод о существовании термического равновесия в этих условиях. Этот вывод нельзя перенести на плазменные струи при пониженных давлениях. В [5] говорится об отсутствии равновесия в струе азотной плазмы при давлениях $p < 100$ мм рт. ст. Для давлений 100–300 мм рт. ст. наблюдается совпадение вращательной и колебательной температур, но вывода о существовании термического равновесия в плазме авторы не делают.

В настоящей работе исследовался дозвуковой поток азотной плазмы при давлениях 0,1 и 0,3 атм. Струя плазмы истекала из цилиндрического канала индукционного плазмотрона. Параметры струи: мощность 37,4 кВт, рабочий газ – азот, давление $p = 0,1$; 0,3 атм, скорость потока на оси среза канала плазмотрона $v = 175$ м·с⁻¹. Мощность контролировалась по анодной цепи лампового генератора и поддерживалась постоянной. Азот в разрядный канал подавался из баллонов. Для получения спектров использовался монохроматор McPherson (дисперсия 8 А/мм). Изображение струи плазмы проектировалось на входную щель монохроматора. Для изучения радиальных распределений параметров ось струи располагалась перпендикулярно щели спектрографа. Характерное строение дозвуковой азотной струи – высокотемпературное ядро и слой смешения, состоящий в основном из молекулярных соединений азота. Спектральный состав азотной плазмы: полосы молекулы N_2 , иона N_2^+ и линии атомарного азота.

Измерение вращательной температуры для обоих давлений проводилось на основе распределения относительной интенсивности во вращательной структуре полос (0–1) – $\lambda = 4278,1$ Å первой отрицательной системы (1^-) иона N_2^+ и (0–0) – $\lambda = 3371,3$ Å второй положительной системы (2^+) молекулы N_2 . Вращательная структура полос N_2 и N_2^+ рассчитывалась на ЭВМ и затем проводилась идентификация спектров, полученных в эксперименте. Методика определения температуры по молекулярным полосам хорошо известна [6] и не приводится здесь. Точность определения «вращательной температуры» не превышает 15%.

В полосе (0–0) для давления 0,1 атм получены Больцмановские распределения молекулы N_2 по вращательным уровням с температурой $T = 5800$ К на срезе канала плазмотрона. При давлении $p = 0,3$ атм получены завышенные значения температуры ($T \sim 7000$ –8000 К), хотя и в этом случае распределение молекул N_2 подчиняется Больцмановскому. По-видимому, это связано с эффектом реабсорбции, который проявляется в наиболее интенсивных линиях с низкими квантовыми числами. «Вращательную температуру» в полосе (0–1) (1^-) N_2^+ измерить не удалось из-за отклонения распределения иона N_2^+ от Больцмановского. На аномалии в распределении N_2^+ по вращательным уровням указывают авторы [7–9] и связывают их с изменением вращательной энергии при взаимодействии с медленными электронами и тяжелыми частицами. Настоящие измерения в полосе N_2^+ требуют использования аппаратуры с большим разрешением и дальнейшего уточнения.

Ранее для воздушной плазмы показано, что, несмотря на отсутствие равновесия в плазме, «вращательная температура» соответствует температуре газа. Поскольку и для азотной плазмы требуется небольшое число столкновений для установления равновесия между вращательными и поступательными степенями свободы, можно говорить о соответствии вращательной температуры газовой.

Температура, характеризующая возбуждение линий атомарного азота, определялась по ряду линий в спектральном диапазоне $\lambda = 8200$ –8750 Å. Ошибка измерений 3–5%.

На фиг. 1 представлены экспериментальные распределения температуры возбуждения (кривая 1) и газовой температуры (2) вдоль оси струи для давления $p = 0,1$ атм. Начало координат совпадает со срезом канала плазмотрона.

Температурные зависимости прямолинейные, а падение газовой температуры вдоль оси струи несколько больше, чем температуры возбуждения. Однако можно считать, что в пределах точности измерений (~15%) газовая температура и температура возбуждения совпадают.

Для давления $p = 0,3$ атм профиль температуры возбуждения вдоль оси струи подобен профилю температуры для $p = 0,1$ атм, а ее значения меняются в интервале $6200 \text{ K} \leq T \leq 6600 \text{ K}$. С ростом давления наблюдается увеличение слоя смешения, что обнаружено в [10] с помощью оптических интерферограмм дозвуковой струи. Увеличение слоя смешения приводит к распространению излучающих молекул N_2 и N_2^+ в периферийную область струи.

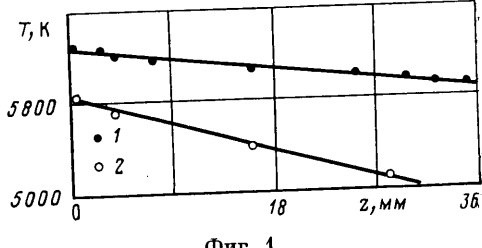
Для давления $p = 0,1$ атм измерялись распределения интенсивности основных излучателей N_2 , N_2^+ , N вдоль оси струи (фиг. 2). Излучение N_2^+ и N максимально

на срезе канала плазмотрона, а молекулы N_2 — при $z \geq 6$ мм. В сечениях $z \geq 16$ мм наблюдается разброс экспериментальных данных для излучения молекул N_2 и N_2^+ , что, по-видимому, связано с искажениями при прохождении излучения через слой смешения.

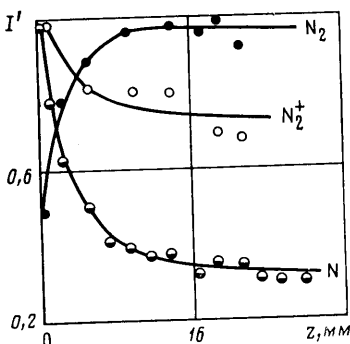
Зависимости относительных интенсивностей $I' = I/I_{\max}$ для N_2 , N_2^+ , N вдоль струи (фиг. 2) отражают поведение концентраций этих компонент.

На срезе канала исследовались радиальные распределения интенсивности излучения N , N_2 , N_2^+ и температуры для выявления влияния неоднородности излучающего слоя плазмы. На фиг. 3 для среза канала плазмотрона приведены радиальные профили температуры возбуждения (кривые 1, 3) и температуры, определенной по абсолютной интенсивности вращательной линии в полосе 0–0 $\lambda 3371,3$ Å второй положительной системы молекулы N_2 (кривые 2, 4). Кривые 1, 2 относятся к давлению 0,3 атм, 3, 4 — 0,1 атм. Температуры, измеренные двумя разными способами, в пределах экспериментальной точности совпадают.

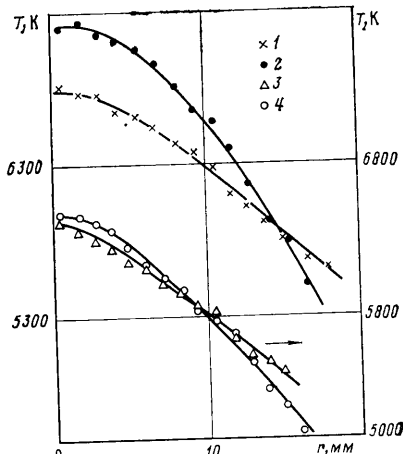
Как видно из графика, с увеличением давления возрастают яркость излучения и размеры ядра струи, так



Фиг. 1



Фиг. 2



Фиг. 3

как растет число соударений между частицами, а значит, и эффективность возбуждения атомов и молекул. Температура на оси разряда ~ 6800 К ($p=0,3$ атм) и 6450 К ($p=0,1$ атм) превышает на 150–200 К значения температуры на оси, усредненные по лучу наблюдения, что находится в пределах экспериментальной ошибки. Следовательно, в данных условиях неоднородность струи слабо влияет на измерение температуры возбуждения атомных уровней.

Радиальные зависимости интенсивности излучения от давления имеют характер, сходный с температурными. Область свечения молекул азота гораздо шире светящейся области атомарного азота, т. е. излучение N_2 и N_2^+ распространено на периферийный слой смешения. Из сопоставления данных фиг. 3 и радиального распределения интенсивности излучения азота можно сделать вывод о том, что атомарный азот излучает из высокотемпературного ядра струи. Из этого следует, что температуру ядра можно измерять по излучению атомарного азота.

Для режима установки ВГУ-2 (мощность по анодному питанию генератора 37,4 кВт, расход азота 2,8 г/с, давление $p=0,1$ атм) на оси симметрии дозвуковой струи вращательная температура равна 6400 К, а эффективная температура газа, определенная по данным прямых измерений энталпии датчиком с протоком подгаза, — 6200 К. Таким образом, эти температуры практически совпадают, что подтверждает сделанный ранее вывод [11, 12] о соответствии вращательной температуре температуре газа.

Авторы благодарят В. М. Картвелишвили за помощь в проведении расчетов на ЭВМ.

ЛИТЕРАТУРА

1. Eckert H. V., Kelly F. L., Olsen H. N. Spectroscopic observations on induction-coupled plasma flames in air and argon.— J. Appl. Phys., 1968, v. 39, № 3, p. 1846–1852.
2. Буевич Ю. А., Николаев В. М., Пластилин Ю. А., Сипачев Г. Ф., Якушин М. И. Оптические свойства плазмы безэлектродного разряда в воздушном потоке.— ПМТФ, 1968, № 6, с. 111–114.
3. Гольдфарб В. М., Гойхман В. Х. Характеристики и возможные спектроскопические применения высокочастотного разряда при атмосферном давлении.— Журн. прикл. спектроскопии, 1968, т. 8, № 2, с. 193–196.
4. Трехов Е. С., Фоменко А. Ф., Хошев Ю. М. Температурные характеристики индукционного разряда в воздухе при атмосферном давлении без протока.— Теплофиз. высоких температур, 1971, т. 9, № 2, с. 429–431.
5. Жестков Б. Е., Омелик А. И., Орлова З. Т. Некоторые характеристики индукционного разряда пониженного давления в азоте.— Теплофиз. высоких температур, 1970, т. 8, № 4, с. 707–711.
6. Герцберг Г. Спектры и строение двухатомных молекул. М.: Изд-во иностр. лит., 1949. 404 с.
7. Полякова Г. Н., Татусь В. И., Фогель Я. М. Распределение ионов N_2^+ , возникших при соударениях ионов с молекулами азота, по уровням вращательной и колебательной энергии.— ЖЭТФ, 1967, т. 52, № 3, с. 657–664.
8. Очкин В. Н., Савинов С. Ю., Соболев Н. Н. Распределение интенсивностей во вращательной структуре 2^+ системы N_2 в газовом разряде. Препринт № 150. М.: ФИАН СССР, 1977.
9. Мадина С. Ш. Относительное распределение молекул N_2 и N_2^+ по вращательным и колебательным уровням возбужденных электронных состояний.— Журн. прикл. спектроскопии, 1980, т. 32, № 3, с. 419–425.
10. Георг Э. Б., Гордеев А. И., Труханов А. С., Якушин М. И. Определение температуры в дозвуковой струе диссоциированного азота.— В сб.: Гагаринские научные чтения по космонавтике и авиации. М.: Наука, 1985, с. 159–160.
11. Георг Э. Б., Якушин М. И. Измерение температуры газа в свободной дозвуковой струе воздушной плазмы в диапазоне давлений $p=0,05–1$ атм. Препринт № 220. М.: ИПМ АН СССР, 1983.
12. Георг Э. Б., Якушин М. И. Температурные измерения в струе воздушной плазмы на индукционном плазмотроне при пониженных давлениях.— Инж.-физ. журн., 1985, т. 48, № 1, с. 108–114.

Москва

Поступила в редакцию
24.I.1985

УДК 531/534:0.61.3

ИНСТИТУТ ПРОБЛЕМ МЕХАНИКИ АН СССР

СЕМИНАРЫ

Семинар по численным методам в задачах тепло- и массообмена под руководством
В. И. Полежаева и Л. А. Чудова

13.II 1984. В. П. Плахотный, А. И. Простомолов, А. И. Федосеев (Москва).
Метод конечных элементов: комплекс программ и приложения к задачам гидромеханики и теории упругости.

Описан комплекс программ, реализующий метод конечных элементов для ЕС ЭВМ, приведены постановка и решения ряда задач гидромеханики (тепловая конвекция, вынужденные движения жидкости) и теории упругости в плоском и осесимметричном случаях.

20.II 1984. Н. В. Погорелов (Москва). *Численное моделирование идеального сверхзвукового обтекания тел сложной формы под большими углами атаки.*

Пространственное сверхзвуковое обтекание тела рассматривается на основе уравнений Эйлера для сжимаемого газа. Применяются явные и неявные конечно-разностные схемы, записанные в консервативной форме. Исследованы характерные особенности течений в широком диапазоне чисел Маха и углов атаки.

20.II 1984. Г. П. Мачис (Каунас). *Метод расчета местных характеристик турбулентного теплообмена крупномасштабными структурами в автомодельной части свободных сдвиговых течений.*

Представленный метод позволяет численно исследовать развитие в моногармоническом приближении как крупно-, так и мелкомасштабных пульсаций. Рассмотр-